

Двоичные диаграммы решений в параллельных алгоритмах обращения дискретных функций¹

А.А. Семенов, А.С. Игнатъев, Д.В. Беспалов

В работе рассматривается возможность применения двоичных диаграмм решений (BDD) в задачах обращения дискретных функций на параллельных вычислительных системах. Описывается архитектура принципиально нового решателя SAT-задач. Основу данного решателя составляет базирующаяся на BDD технология уменьшения объема памяти, используемой для хранения истории поиска. В качестве тестовой рассматривается задача криптоанализа генератора ключевого потока известной системы поточного шифрования A5/1.

Введение

В настоящей работе развивается подход к решению логических (булевых) уравнений, в основе которого лежит гибридная стратегия, использующая как быстрые алгоритмы решения SAT-задач (нехронологический DPLL-вывод), так и двоичные диаграммы решений (BDD). Построенные алгоритмы тестировались на задачах обращения ряда криптографических функций. Наиболее интересные результаты касаются задачи криптоанализа генератора ключевого потока, используемого в поточном шифре A5/1. В данном контексте результаты настоящей работы улучшают результаты статьи [1].

План работы следующий. В первом пункте приведены основные понятия и вспомогательные результаты, необходимые для дальнейших построений. Во втором пункте дано описание базирующегося на двоичных диаграммах решений (BDD) подхода к поиску корней логических уравнений, кодирующих задачи обращения некоторых дискретных функций. В третьем пункте описывается гибридный подход (SAT+BDD) к обращению дискретных функций. В четвертом пункте приведены результаты численных экспериментов по логическому криптоанализу генератора A5/1, для осуществления которых была задействована параллельная вычислительная система.

1. Основные понятия

Главным объектом рассмотрения настоящей статьи являются задачи обращения тотальных дискретных функций, вычисляемых за полиномиальное время. Более точно, речь идет о семействах функций вида $f_n : \{0,1\}^n \rightarrow \{0,1\}^*$, где $\{0,1\}^n$ – множество всевозможных двоичных векторов длины n , а $\{0,1\}^*$ – множество всевозможных двоичных векторов произвольной конечной длины. Предполагается, что для любого $n \in \mathbb{N}$ функция f_n всюду определена (тотальна) и существует программа для детерминированной машины Тьюринга (ДМТ), которая вычисляет все функции семейства $f = \{f_n\}_{n \in \mathbb{N}}$. Если такая программа имеет полиномиальную от n сложность, то говорим, что семейство функций f находится в классе \mathfrak{S} (см. [2]). Задача обращения $f_n \in \mathfrak{S}$ заключается в том, чтобы по известному y из области значений f_n найти такое $x \in \{0,1\}^n$, что $f_n(x) = y$.

В работах [1]–[5] был развит пропозициональный подход к задачам обращения дискретных функций из класса \mathfrak{S} . В основе данного подхода лежит идея пропозиционального представления алгоритмов, восходящая к С.А. Куку (см. [6]). В соответствии с пропозициональным подходом алгоритм вычисления дискретной функции $f_n \in \mathfrak{S}$ представляется в виде системы логических уравнений $S(f_n)$, которая, грубо говоря, описывает все возможные варианты эволюции программы, вычисляющей f_n , на входах из $\{0,1\}^n$. После подстановки в систему $S(f_n)$ вектора y из области значений f_n имеем совместную систему

¹ Работа выполнена при поддержке гранта РФФИ № 07-01-00400-а и при поддержке гранта Президента РФ НШ-1676.2008.1.

логических уравнений $S(f_n)|_y$, решая которую находим такой $x \in \{0,1\}^n$, что $f_n(x) = y$. Для решения систем вида $S(f_n)|_y$ могут использоваться различные подходы. В [1]–[5] для этих целей применялся SAT-подход, в основе которого лежит техника приведения систем $S(f_n)|_y$ к уравнениям вида «КНФ=1». В статье [4] была предложена технология крупноблочного параллелизма, предназначенная для решения SAT-задач. В работах [1], [4], [5] данная технология использовалась для решения задач обращения некоторых криптографических функций на суперкомпьютерах.

В настоящей статье предлагается комбинированный подход к решению задач обращения дискретных функций из класса \mathcal{S} , использующий как SAT-технологии, так и двоичные диаграммы решений (BDD). Далее кратко описываются основы теории BDD в применении к решению систем логических уравнений.

2. Двоичные диаграммы решений

Двоичные диаграммы решений (Binary Decision Diagram, BDD) являются удобным инструментом представления и оперирования булевыми функциями. Формально BDD определяется как направленный ациклический граф, две вершины которого имеют метки «0» и «1». Данные вершины называются терминальными и соответствуют значениям представляемой булевой функции. Выходная степень терминальных вершин равна 0. Все остальные вершины имеют выходную степень 2. Одна вершина имеет входную степень равную 0, эта вершина называется корневой, а остальные вершины имеют входную степень ≥ 1 . BDD ориентируется от корня к терминальным вершинам. Ребра (дуги) BDD помечаются двумя возможными способами: пунктиром (нижние или low-ребра) либо сплошной линией (верхние или high-ребра). Любая вершина, кроме терминальных, обязательно имеет двух детей – один соединен с ней low-ребром, другой high-ребром. Более подробное изложение теории BDD можно найти, например, в книге [7].

Применяя к произвольной тотальной булевой функции разложение Шеннона (см. [7]), можно получить представление данной функции в виде BDD. Переменным булевой функции при этом сопоставляются вершины BDD (одной и той же переменной могут соответствовать несколько различных вершин BDD). Пусть BDD $B(f)$ представляет булеву функцию f над множеством булевых переменных $X = \{x_1, \dots, x_n\}$. Пусть π – произвольный путь в $B(f)$ из корневой вершины в любую из терминальных. Прохождению данного пути соответствует некоторое последовательное означивание переменных из X (возможно не всех). Следовательно, π задает некоторый (вообще говоря, частичный) порядок на множестве X . Если прохождение каждого пути в BDD из корня в любую из терминальных вершин подчинено некоторому фиксированному полному порядку на X , то такая BDD называется упорядоченной (ordered) или кратко OBDD. Упорядоченная BDD называется сокращенной или редуцированной (ROBDD), если она не содержит повторяющихся фрагментов. На более формальном уровне это означает, что если в ROBDD вершины u и v соответствуют переменной x , причем low-ребенок u совпадает с low-ребенком v , и high-ребенок u совпадает с high-ребенком v , то вершины u и v совпадают. Кроме этого в ROBDD ни для какой вершины low-ребенок не может совпадать с high-ребенком. Фундаментальный результат, полученный Р.Е. Брайантом в [8], состоит в том, что произвольная всюду определенная булева функция имеет единственное ROBDD-представление (с точностью до изоморфизма соответствующих графов).

Пусть $X = \{x_1, \dots, x_n\}$ – множество булевых переменных. Рассмотрим произвольную систему логических уравнений над X следующего вида:

$$\begin{cases} U_1(x_1, \dots, x_n) = 1 \\ \dots \\ U_m(x_1, \dots, x_n) = 1 \end{cases} \quad (1)$$

Данная система эквивалентна одному логическому уравнению

$$U_1(x_1, \dots, x_n) \cdot \dots \cdot U_m(x_1, \dots, x_n) = 1.$$

Введем в рассмотрение булеву функцию $U : \{0,1\}^n \rightarrow \{0,1\}$, которую определим следующим образом:

$$U(\alpha) = (U_1(x_1, \dots, x_n) \cdot \dots \cdot U_m(x_1, \dots, x_n))|_{\alpha}, \alpha \in \{0,1\}^n.$$

Назовем данную функцию характеристической функцией системы (1). Обозначим через $B(U)$ ROBDD-представление функции U . Если система (1) совместна, то произвольный путь π в ROBDD $B(U)$ из корня в терминальную вершину «1» определяет некоторое семейство наборов значений истинности переменных из X , являющихся решениями (1).

Основные алгоритмы «манипулирования» булевыми функциями при помощи BDD были описаны в работе [8]. Построение ROBDD B_3 булевой функции $f_3 = f_1 \circ f_2$ на основе ROBDD B_1, B_2 , представляющих функции f_1 и f_2 (предполагается, что все функции заданы над множеством булевых переменных X , а « \circ » — произвольная бинарная логическая связка), можно осуществить при помощи алгоритма APPLY (см. [8]). Порядок переменных в B_1, B_2 при этом должен быть одинаков (как следствие тот же порядок будет иметь и ROBDD B_3). Сложность процедуры APPLY построения B_3 в таком случае ограничена сверху величиной $O(|B_1| \cdot |B_2|)$ (здесь и далее через $|B|$ обозначается число вершин в ROBDD B). Несложно понять, что найти решение системы (1) можно, построив при помощи алгоритма APPLY ROBDD-представление булевой функции U , например, по следующей схеме:

$$B(U) = \text{APPLY}(B_1 \cdot \text{APPLY}(B_2 \cdot \dots \cdot \text{APPLY}(B_{m-1} \cdot B_m))),$$

где через $B_i, i \in \{1, \dots, m\}$, обозначены ROBDD-представления булевых функций $U_i : \{0,1\}^n \rightarrow \{0,1\}$, фигурирующих в левых частях системы (1) (в качестве бинарной связки используется конъюнкция).

Определение 1.

Пусть система (1) совместна. Пусть $B(U)$ — ROBDD-представление характеристической функции данной системы и π — произвольный путь из корня $B(U)$ в терминальную вершину «1». Данный путь определяет некоторое множество решений (1), обозначаемое через $A(\pi)$, $|A(\pi)| \geq 1$. Про любое $\alpha \in A(\pi)$ говорим также, что π содержит α .

3. Комбинированный подход (SAT+ROBDD) в задачах обращения дискретных функций

В данном пункте описывается подход к решению систем логических уравнений, кодирующих задачи обращения функций из класса \mathfrak{S} , составными частями которого являются как SAT-технологии, так и двоичные диаграммы решений.

3.1 Особенности DPLL-вывода в задачах обращения дискретных функций.

Обсуждаемые в данном подразделе особенности имеют отношение к SAT-подходу в обращении дискретных функций. Предположим, что рассматривается задача обращения функции $f_n : \{0,1\}^n \rightarrow \{0,1\}$, $f_n \in \mathfrak{S}$, в точке $y \in \text{range } f_n$ и $C(V) = 1$ — логическое уравнение вида «КНФ=1», кодирующее данную задачу. Здесь $C(Y)$ — КНФ над множеством булевых переменных $V = \{x_1, \dots, x_n, y_1, \dots, y_{p(n)}\}$, $p(\cdot)$ — некоторый полином, переменные множества $X = \{x_1, \dots, x_n\}$ символизируют переменные входа функции f_n . Переменные из $Y = V \setminus X$ — это переменные, появляющиеся в результате осуществления преобразований Цейтина (см. [3], [1]) при переходе от неоднородного формата исходной системы логических уравнений к формату «КНФ=1». Далее переменные из множества Y называем цейтиновскими.

Пусть $C = C(X)$ — произвольная КНФ над множеством булевых переменных $X = \{x_1, \dots, x_k\}$. Рассмотрим некоторое множество $X' = \{x'_1, \dots, x'_r\}$: $X' \subseteq X$. Пусть $(\alpha_1, \dots, \alpha_r)$ — произвольный вектор, образованный значениями истинности переменных из X' . Подставим в C значение $x'_1 = \alpha_1$. Данная подстановка заключается в вычеркивании из C некоторых литералов и дизъюнктов. При этом отслеживаются возможности срабатывания правила единичного дизъюнкта с последующими подстановками в C соответствующих индуцированных значений. Если в результате не выведен конфликт или выполняющий C набор, то в КНФ $C|_{x'_1=\alpha_1}$

осуществляется подстановка значения $x'_2 = \alpha_2$. И так далее. Описанная процедура определяет последовательную подстановку в C вектора $(\alpha_1, \dots, \alpha_r)$ относительно порядка $x'_1 < \dots < x'_r$. Возможны три исхода такой подстановки. Ситуация 1 состоит в том, что подстановка порождает конфликт. Ситуация 2 состоит в том, что подстановка приводит к выводу набора, выполняющего C . Наконец, результатом подстановки может быть КНФ C' , каждый дизъюнкт которой содержит более одного литерала.

Определение 2.

Если результатом последовательной подстановки $x'_1 = \alpha_1, \dots, x'_r = \alpha_r$ в C является либо ситуация 1, либо ситуация 2, то говорим, что подстановка индуцирует в C детерминированный DPLL-вывод соответственно конфликта или выполняющего набора.

Определение 3.

Пусть $X = \{x_1, \dots, x_k\}$ – множество булевых переменных и $X' \subseteq X$. Проекцией вектора $\alpha = (\alpha_1, \dots, \alpha_k)$ значений переменных из X на X' называется вектор, образованный теми компонентами α , которые являются значениями переменных из X' . Проекцию α на X' обозначаем через $\alpha_{X'}$.

Определение 4.

Ядром DPLL-вывода для КНФ $C = C(X)$, называется такое множество $X^{\ker}(C) \subseteq X$ с заданным на нем порядком τ , что:

1. для любого вектора $\alpha = (\alpha_1, \dots, \alpha_k)$, выполняющего C , подстановка в C вектора $\alpha_{X^{\ker}(C)}$ относительно τ индуцирует детерминированный DPLL-вывод α ;
2. для любого вектора $\beta = (\beta_1, \dots, \beta_k) : C|_{\beta} = 0$, подстановка в C вектора $\beta_{X^{\ker}(C)}$ относительно τ индуцирует детерминированный DPLL-вывод конфликта.

Ядро $X^{\ker}(C) : X^{\ker}(C) = X$, называется тривиальным. Ядро наименьшей мощности называется минимальным и обозначается через $X_*^{\ker}(C)$.

Теорема 1.

Пусть $C(V) = 1$, $C(V)$ – КНФ над $V = X \cup Y$, – логическое уравнение, кодирующее задачу обращения функции f_n в произвольной точке $y \in \text{range } f_n$, X_τ – множество переменных входа f_n с заданным на нем произвольным порядком τ . Тогда $V_*^{\ker}(C(V)) \subseteq X_\tau$.

Доказательство данной теоремы мы здесь не приводим ввиду ограничений на объем текста. Обозначим лишь основную идею. При переходе от исходной системы к уравнению вида «КНФ=1» происходит ввод цейтиновских переменных. Произвольная цейтиновская переменная – это булева переменная, интерпретирующая выход некоторой булевой функций, аргументами которой могут быть как переменные входа функции f_n , так и цейтиновские переменные, введенные на более ранних этапах. Подстановка произвольного вектора значений переменных входа f_n в КНФ $C(V)$ порождает вывод по правилу единичного дизъюнкта значений всех последующих функционально с ними связанных цейтиновских переменных. Однако при этом могут возникнуть конфликты с подставленными значениями переменных, символизирующих биты выхода функции f_n . Все это укладывается в правила DPLL-вывода (BCP-стратегию). Тем самым множество переменных входа f_n образует ядро DPLL-вывода КНФ $C(V)$. Очень важно, что порядок подстановки значений переменных из X может быть произвольным. Данный факт означает, что для обращения f_n можно применять произвольный GRASP-подобный алгоритм, использующий нехронологический бэктрекинг, CL-процедуру и рестарты (см. [9]).

Итак, теорема 1 позволяет сделать вывод о том, что при рассмотрении задачи обращения дискретной функции как SAT-задачи имеется очень важная дополнительная информация о том, какие переменные являются, грубо говоря, «истинно информативными». Это переменные входа рассматриваемой функции. От них функционально зависят все остальные переменные, поэтому любая подстановка в КНФ значений переменных из X порождает либо бесконфликтный вывод значений всех остальных переменных по правилу единичного дизъюнкта, либо вывод конфликта. Следовательно, на КНФ, кодирующих задачи обращения дискретных функций, имеет место полная стратегия логического вывода, в соответствии с которой выбор переменных уровней решения осуществляется только из множества X (переменных входа

функции f_n). Тем самым при осуществлении данной стратегии можно гарантировать, что порождаемые конфликтные дизъюнкты будут содержать только литералы над множеством X .

При программной реализации описанной стратегии требуется учитывать ряд особенностей. В частности, требуется изменить процедуру анализа конфликтов и построения конфликтных дизъюнктов. В большинстве высокоскоростных SAT-решателей, таких как minisat (см. [10]) или zchaff (см. [11]) используется процедура анализа конфликта, называемая «First UIP-схемой» (кратко «FUIP-схема»). Аббревиатура «FUIP» (First Unique Implication Point) обозначает ближайшую к конфликту на графе вывода точку, доминирующую над обеими конфликтными вершинами (см. [12], [13]). При решении SAT-задачи, кодирующей обращение функции $f_n \in \mathfrak{S}$, вместо FUIP-схемы можно использовать гораздо более простой механизм, состоящий в следующем. Каждой точке на графе вывода (Implication Graph, [9]) ставится в соответствие двоичный вектор длины $|X|$. Единицы в данном векторе означают наличие среди предков рассматриваемой вершины соответствующих переменных из X , нули – отсутствие. Описанный прием позволяет в момент конфликта определить значения переменных из X , ответственные за конфликт. Таким образом, для построения конфликтного дизъюнкта не требуется обратный ход по графу вывода.

3.2 Гибридная стратегия (SAT+ROBDD) в задачах обращения дискретных функций. Основная идея описываемой стратегии состоит в представлении базы конфликтных дизъюнктов в виде ROBDD. Данная идея продиктована восприятием ROBDD как наиболее компактной формы представления булевых функций в классе графов специального вида.

Теорема 2.

Рассматриваем задачу обращения функции $f_n \in \mathfrak{S}$ в точке $y \in \text{range } f_n$, кодируемую уравнением $C(V)=1$. Пусть X – множество переменных входа функции f_n . Обозначим через $D_1(X), \dots, D_k(X)$ конфликтные дизъюнкты, выведенные из $C(V)$ в ходе применения DPLL-вывода с выбором переменных только из X . Обозначим через B_k ROBDD булевой функции $D_1(X) \cdot \dots \cdot D_k(X)$. Тогда существует такой путь π из корня B_k в терминальную вершину «1», что $\alpha \in A(\pi)$, где $\alpha \in \{0,1\}^n$ – решение рассматриваемой задачи обращения.

Доказательство (кратко).

Докажем данную теорему от противного. Пусть $\alpha = (\alpha_1, \dots, \alpha_n)$ – произвольное решение задачи обращения функции f_n в точке $y \in \text{range } f_n$, кодируемой уравнением $C(V)=1$. Предположим, что вопреки утверждению теоремы ни один путь из корня B в терминальную вершину «1» не содержит α в смысле определения 1. Рассмотрим следующую КНФ

$$C(D) = D_1(X) \cdot \dots \cdot D_k(X).$$

Поскольку $\bigcup_{j=1}^k X_j \subseteq V^{\text{ker}}(C) \subseteq X$, то сделанное предположение означает, что $C(D)|_{\alpha} = 0$ (через

$X_j, j \in \{1, \dots, m\}$, здесь обозначено множество переменных из X , фигурирующих в $D_j(X)$). С другой стороны, в силу природы алгоритма DPLL, дополненного CL-процедурой (см. [9]), каждый дизъюнкт $D_j(X), i \in \{1, \dots, m\}$, является логическим следствием КНФ C . Поэтому логическим следствием C является и КНФ $C(D)$. Однако подстановка α в C в силу теоремы 1 индуцирует детерминированный DPLL-вывод набора $\beta = (\beta_1, \dots, \beta_{q(n)})$, выполняющего C (β – набор значений истинности переменных множества V). При этом из сделанного предположения следует, что $C(D)|_{\beta} = 0$ (поскольку $C(D)|_{\alpha} = 0$). Данный факт противоречит тому, что $C(D)$ является логическим следствием C . Полученное противоречие означает справедливость утверждения теоремы. Теорема 2 доказана.

Отметим, что теорема 2 может рассматриваться как обоснование «стратегии абдукции» в задаче обращения функций из \mathfrak{S} в том смысле, что начиная с некоторого шага, выбор значений переменных уровней решения в DPLL-выводе над $C(V)$ определяется структурой (ROBDD B_k), которая является логическим следствием из $C(V)$.

4. Использование нового подхода (SAT+ROBDD) в логическом криптоанализе

В статье [1] был описан параллельный логический криптоанализ генератора ключевого потока шифра А5/1. В настоящей работе приводятся результаты параллельного логического криптоанализа данного шифра с использованием описанной гибридной стратегии (SAT+ROBDD).

Описание генератора ключевого потока А5/1 взято из статьи [14]. В основе А5/1 находятся три регистра сдвига с линейной обратной связью (РСЛОС, см., например [15]), задаваемые следующими полиномами обратной связи: РСЛОС 1: $X^{19}+X^{18}+X^{17}+X^{14}+1$; РСЛОС 2: $X^{22}+X^{21}+1$; РСЛОС 3: $X^{23}+X^{22}+X^{21}+X^8+1$. В А5/1 используется принцип асинхронного сдвига регистров в зависимости от значений специальной функции

$$\chi_i(b_s^1, b_s^2, b_s^3) = \begin{cases} 1, & b_s^i = \text{majority}(b_s^1, b_s^2, b_s^3) \\ 0, & b_s^i \neq \text{majority}(b_s^1, b_s^2, b_s^3) \end{cases}$$

здесь через b_s^i обозначен т.н. «сердинный бит» i -того регистра, $i \in \{1,2,3\}$. Схема работы генератора А5/1 приведена на рисунке 1.

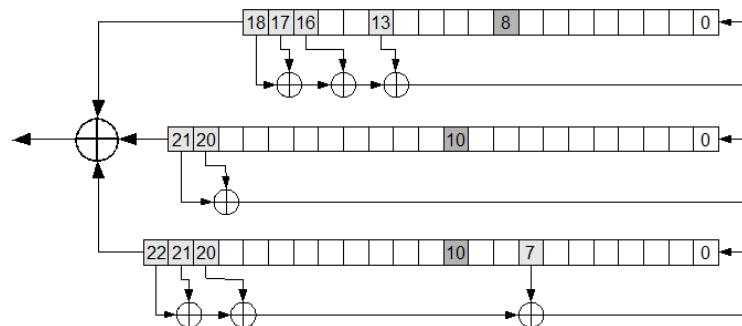


Рис. 1 Схема работы генератора ключевого потока шифра А5/1

Сердинные биты каждого из регистров выделены более темной заливкой. Функция «majority»— это функция большинства, определяемая следующим образом:

$$\text{majority}(x,y,z) = x \cdot y \vee x \cdot z \vee y \cdot z$$

Сдвиг i -того регистра осуществляется лишь тогда, когда значение функции $\chi_i(\cdot)$ равно 1.

В контексте сказанного задачу вычисления начального заполнения регистров 1–3 по известным m битам ключевого потока, порожденного данным генератором, можно рассматривать как задачу обращения дискретной функции $f_{A5/1} : \{0,1\}^{64} \rightarrow \{0,1\}^m$. В соответствии с пропозициональным подходом сводим данную задачу к задаче поиска решения уравнения вида «КНФ=1», то есть к некоторой SAT-задаче.

В статье [1] была описана процедура параллельного криптоанализа генератора А5/1 в рамках общей технологии крупноблочного параллельного решения SAT-задач, развитой в [4], [5]. Основная идея процедуры криптоанализа, описанной в [1], заключалась в использовании для распараллеливания декомпозиционного множества (см. [4]), схематично изображенного на рисунке 2 темной заливкой.

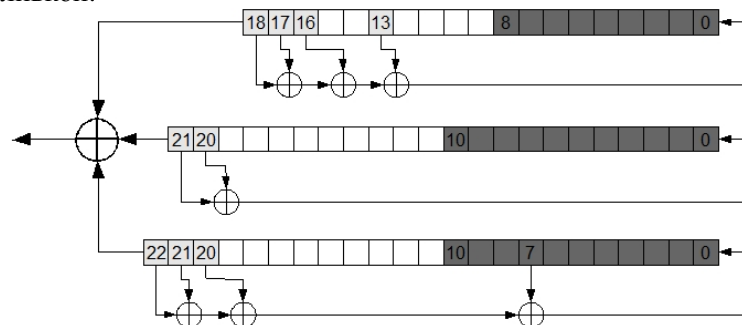


Рис. 2 Схема построения декомпозиционного множества из 31 переменной (X')

В соответствии с данной схемой декомпозиционное множество, по которому осуществляется распараллеливание (см. [4]), образовано следующими переменными входа функции $f_{A5/1}$:

$$X' = \{x_1, \dots, x_9, x_{20}, \dots, x_{30}, x_{42}, \dots, x_{52}\}$$

(всего 31 переменная). Прогноз криптоанализа A5/1 на кластере T-60 (см. [16]) при описанной декомпозиционной схеме с применением пакета Distributed-SAT (см. [17]) составил 19-21 часов работы данного кластера (при анализе 150 битов ключевого потока). Интересно, что улучшить данный прогноз за счет уменьшения декомпозиционного множества с использованием техники прогнозных функций (см. [4]) не удалось.

Отметим, что во всех численных экспериментах, описанных в [1], в качестве решателя SAT-задач использовался незначительно модифицированный решатель minisat (см. [18]). В настоящей работе мы приводим результаты прогноза параллельного криптоанализа A5/1 на кластере T-60 с применением нового решателя, в котором помимо DPLL-вывода используется ROBDD-модуль.

Разработанная схема логического криптоанализа A5/1 включает в себя процедуру препроцессинга, для осуществления которой используется новый гибридный решатель (SAT+ROBDD). В этом смысле описываемая атака близка к атакам, использующим идею «пространственно-временного компромисса» (см. [14]).

На этапе препроцессинга решатель накапливает базу конфликтных дизъюнктов $\{D_1, \dots, D_s\}$. Причем в соответствии с результатами пункта 3 $D_j, j \in \{1, \dots, s\}$ – дизъюнкты над множеством переменных входа функции $f_{A5/1}$. Далее строится ROBDD-представление булевой функции $\delta = D_1 \cdot \dots \cdot D_s$ (для этой цели в решатель был встроены программный модуль, описанный в [19]). Полученную ROBDD обозначаем через B . Данной ROBDD за полиномиальное в общем случае от числа вершин в B время можно сопоставить логическое уравнение вида $F(x_1, \dots, x_n) = 1$, где $F(x_1, \dots, x_n)$ – формула, задающая δ как сложную функцию в виде скобочной формы. При помощи преобразований Цейтина (см. [20]) от уравнения $F(x_1, \dots, x_n) = 1$ делается переход к уравнению вида $C(V) = 1$, где $C(V)$ – КНФ над множеством булевых переменных $V = \{x_1, \dots, x_n, v_1, \dots, v_{p(n)}\}$, $p(\cdot)$ – некоторый полином. Множества решений уравнений $F(x_1, \dots, x_n) = 1$ и $C(V) = 1$ равнозначны и от любого решения $C(V) = 1$ можно эффективно перейти к соответствующему решению уравнения $F(x_1, \dots, x_n) = 1$ (в терминологии работы [21] данные уравнения обозначаются как консервативно изоморфные). Рассматриваем КНФ $C' = C \cdot C(V)$, где C – исходная КНФ, кодирующая задачу обращения функции f_n (в нашем случае функции $f_{A5/1}$) в некоторой точке из области значений. Можно показать, что множества уравнения $C = 1$ и $C' = 1$ также являются консервативно изоморфными.

Обратим особое внимание на КНФ C' . В данной КНФ содержится информация о конфликтах, описанных дизъюнктами D_1, \dots, D_s . С другой стороны, объем памяти, занимаемой КНФ $C(V)$, может быть существенно (на некоторых примерах в миллионы раз) меньше объема, который занимает КНФ $D_1 \cdot \dots \cdot D_s$. Переход от $D_1 \cdot \dots \cdot D_s$ к $C(V)$ можно рассматривать как вклад в решение проблемы неполноты вывода (см. [5]), являющейся следствием использования эвристических процедур чистки баз конфликтных дизъюнктов в «стандартных» SAT-решателях.

В проведенной серии экспериментов препроцессинг с использованием нового гибридного (SAT+ROBDD) решателя накапливал информацию в виде конфликтных дизъюнктов в течении примерно суток работы вычислительного узла со следующими характеристиками: одно ядро процессора Intel Xeon Quad-Core E5345 2.33 GHz, 4GB RAM. Для полученной в результате КНФ C' задача поиска выполняющего набора решалась в соответствии со схемой крупноблочного параллелизма, в целом аналогичной [1]. Прогноз времени параллельного решения данной SAT-задачи на кластере T-60 составил 16-18 часов (в отличие от 19-21 часов без препроцессинга).

Заключение

Описанная в работе технология может оказаться полезной в решении сложных задач на вычислительных кластерах, полный доступ к которым представляется маловероятным. Так,

задачу получения полного доступа к ресурсам T-60 на сутки можно считать практически неосуществимой. Однако после продолжительного препроцессинга, для выполнения которого достаточно обычного ПК, получаемая задача может потребовать существенно меньших ресурсов кластера.

Предложенный в работе подход предполагается применять при решении в распределенных вычислительных средах систем логических (булевых) уравнений большой размерности. Такого рода задачи возникают в логическом программировании, верификации дискретных автоматов, а также в криптоанализе различных систем шифрования (особый интерес в этом плане представляют проблемы поиска коллизий для криптографических хэш-функций).

Литература

1. Семенов А.А., Заикин О.С., Беспалов Д.В., Буров П.С., Хмельнов А.Е. Решение задач обращения дискретных функций на многопроцессорных вычислительных системах // Труды Четвертой Международной конференции «Параллельные вычисления и задачи управления» РАСО'2008 (Москва 26-29 октября 2008) – С. 152-176.
2. Семенов А.А., Заикин О.С., Беспалов Д.В., Ушаков А.А. SAT-подход в криптоанализе некоторых систем поточного шифрования // Вычислительные технологии. 2008. Т. 13. №6. С. 134-150.
3. Семенов А.А. Логико-эвристический подход в криптоанализе генераторов двоичных последовательностей // Труды международной научной конференции ПАВТ'07. Челябинск, ЮУрГУ, 2007. – Т. 1. С. 170-180.
4. Заикин О.С., Семенов А.А. Технология крупноблочного параллелизма в SAT-задачах // Проблемы управления. 2008. №1. С. 43-50.
5. Семенов А.А., Заикин О.С. Неполные алгоритмы в крупноблочном параллелизме комбинаторных задач // Вычислительные методы и программирование. 2008. Т. 9. №1. С. 112-122.
6. Cook S. A. The complexity of theorem-proving procedures, Proc. 3rd Ann. ACM Symp. on Theory of Computing, Association for Computing Machinery, Ohio, 1971, p. 151-159. [Перевод: Кук С.А. Сложность процедур вывода теорем. Кибернетический сборник. Новая серия. Вып. 12, с. 5-15, – М., «Мир», 1975.]
7. Meinel Ch., Theobald T. Algorithms and Data Structures in VLSI-Design: OBDD-Foundations and Applications. Berlin: Springer-Verlag, 1998. 267 p.
8. Bryant R.E. Graph-Based Algorithms for Boolean Function Manipulation // IEEE Transactions on Computers. 1986. V. 35. № 8. P. 677-691.
9. Marques-Silva J. P., Sakallah K.A. GRASP: A search algorithm for propositional satisfiability // IEEE Transactions on Computers. 1999. V. 48. № 5. P. 506-521.
10. <http://www.cs.chalmers.se/Cs/Research/FormalMethods/MiniSat/MiniSat.html>
11. <http://www.ee.princeton.edu/~chaff/zchaff/zchaff.2004.11.15.zip.txt>
12. Zhang L., Madigan C., Moskewicz M., Malik S. Efficient conflict driven learning in a Boolean satisfiability solver // In Proc. of the International Conference on Computer Aided Design (ICCAD), San Jose, California. 2001. P. 279-285.
13. Семенов А.А., Отпущенников И.В. Об алгоритмах обращения дискретных функций из одного класса // Прикладные алгоритмы в дискретном анализе. Серия: Дискретный анализ и информатика, Вып. 2. 2008. Иркутск: Изд-во ИГУ. С. 127-156.
14. Biryukov A., Shamir A., Wagner D. Real Time Cryptanalysis of A5/1 on a PC // Lecture Notes in Computer Science. Springer-Verlag. 2001. V. 1978. P. 1-18.
15. Menezes A., Van Oorschot P., Vanstone S. Handbook of Applied Cryptography. – CRC Press, 1996. – 657 p.
16. Научно-исследовательский вычислительный центр МГУ имени М.В.Ломоносова [<http://parallel.ru/cluster/>]
17. Заикин О.С. Пакет прикладных программ Distributed-SAT: Свидетельство об официальной регистрации программы для ЭВМ № 2008610423. – М.: Федеральная служба по интеллектуальной собственности, патентам и товарным знакам, 2008.
18. MiniSat [<http://minisat.se/MiniSat.html>]

19. Семенов А.А., Игнатъев А.С. Логические уравнения и двоичные диаграммы решений // Прикладные алгоритмы в дискретном анализе. Серия: Дискретный анализ и информатика, Вып. 2. 2008. Иркутск: Изд-во ИГУ. С. 99-126.
20. Семенов А.А. Трансляция алгоритмов вычисления дискретных функций в выражения пропозициональной логики // Прикладные алгоритмы в дискретном анализе. Серия: Дискретный анализ и информатика, Вып. 2. 2008. Иркутск: Изд-во ИГУ. С. 70-98.
21. Семенов А.А. Консервативные преобразования систем логических уравнений // Вестник ТГУ. Приложение.–2007.– №23.– С. 52-59.